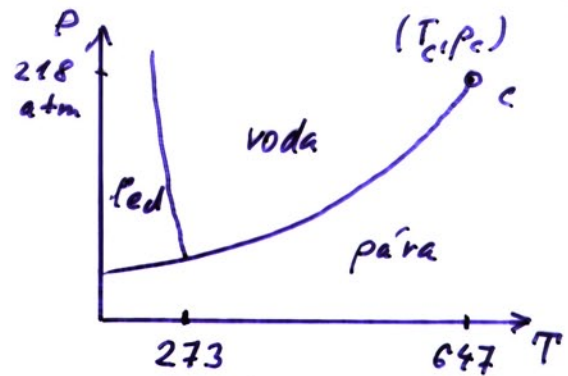


# FÁZOVÝ PŘECHOD KAPALINA - PÁRA

parameter uspořádaní:  
hustota  $\rho$

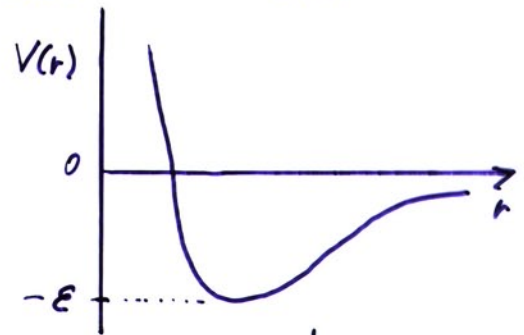


- nejjednodušší spojitý model  
Lennard-Jones

$$V^{(LJ)}(r) = 4\epsilon \left[ \left( \frac{r_0}{r} \right)^{12} - \left( \frac{r_0}{r} \right)^6 \right]$$

potenciální energie:

$$E = \sum_{I < J} V(\vec{r}_I - \vec{r}_J)$$



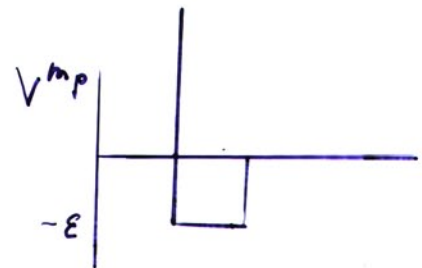
- mřížový plyn

rozděl prostor na

$\square \leftarrow i$

$$n_i = \begin{cases} 0 & \\ 1 & i \end{cases}$$

$$V_{ij}^{(mp)} = \begin{cases} \infty & i=j \\ -\epsilon & i,j \text{ sousedi} \\ 0 & \text{ostatní} \end{cases}$$



$$E^{(mp)} = - \sum_{\langle ij \rangle} \epsilon n_i n_j, \quad N = \sum_i n_i, \quad \rho = \frac{1}{L^d} N$$

grand kanonická partiční suma

$$Z = \sum_{\{n_i\}} \exp \left\{ \beta \epsilon \sum_{\langle ij \rangle} n_i n_j - \mu \sum_i n_i \right\}$$

při  $n_i = \frac{s_i + 1}{2}$  ekvivalentní Isingovu modelu

$$E^{(mp)} - \mu N = - \frac{\epsilon}{4} \sum_{\langle ij \rangle} s_i s_j - \sum_i \left( \frac{\mu}{2} + \frac{\epsilon}{4} c \right) s_i - \frac{L^d}{2} \left( \mu + \frac{\epsilon}{4} c \right)$$

$c \dots$  konektivita = počet nejbližších sousedů

$$J = \frac{\epsilon}{4}, \quad h = \frac{\mu}{2} + \frac{\epsilon c}{4}, \quad M = 2\rho - 1$$

## Kritické exponenty pro Isingův model

exponent	střední pole	2 d Ising	3d Ising
$\alpha$	nespojitosť	0	$0.119 \pm 0.006$
$\beta$	1/2	1/8	$0.326 \pm 0.004$
$\gamma$	1	7/4	$1.239 \pm 0.003$
$\delta$	3	15	5
$\eta$	1/2	1	$0.627 \pm 0.002$
$\nu$	0	1/4	$0.024 \pm 0.007$

## Srovnání: kritický bod kapalina/para

Landau-Ginzburg model      3d Ising      exper. data

	$\phi^4, d = 3$	Ising, $d = 3$	Fluid
$\alpha$	$0.110 \pm 0.005$	$0.119 \pm 0.006$	<b>0.101 – 0.116</b>
$\beta$	$0.325 \pm 0.002$	$0.326 \pm 0.004$	<b>0.316 – 0.327</b>
$\gamma$	$1.241 \pm 0.002$	$1.239 \pm 0.003$	<b>1.23 – 1.25</b>
$\eta$	$0.032 \pm 0.005$	$0.024 \pm 0.007$	–
$\nu$	$0.630 \pm 0.002$	$0.627 \pm 0.002$	<b>0.625 <math>\pm</math> 0.006</b>

## Srovnání: magnetický kritický bod

Landau-Ginzburg model      exper. data      Heisenbergův model

	$\phi^4, D = 3, d = 3$	Ni	Heisenberg, $d = 3$
$\alpha$	$-0.115 \pm 0.009$	$0.04 \pm 0.12$	– 0.14
$\beta$	$0.368 \pm 0.004$	$0.358 \pm 0.003$	0.3
$\gamma$	$1.390 \pm 0.010$	$1.33 \pm 0.02$	1.43
$\nu$	$0.710 \pm 0.007$	$0.64 \pm 0.10$	0.7

## Kritické exponenty pro Isingův model

exponent	střední pole	2 d - Onsager	3d rozvoj vysoké T
$\alpha$	nespojnost	0	$0.119 \pm 0.006$
$\beta$	1/2	1/8	$0.326 \pm 0.004$
$\gamma$	1	7/4	$1.239 \pm 0.003$
$\delta$	3	15	5
$\eta$	1/2	1	$0.024 \pm 0.007$
$\nu$	0	1/4	$0.627 \pm 0.002$

## Srovnání Isingův model vs. experiment

exponent	IM - 3d	exper. data - Ni	exper. data fluid
$\alpha$	$0.119 \pm 0.006$	$0.04 \pm 0.12$	0.101 - 0.116
$\beta$	$0.326 \pm 0.004$	$0.358 \pm 0.003$	0.316 - 0.327
$\gamma$	$1.239 \pm 0.003$	$1.33 \pm 0.02$	1.23 - 1.25
$\nu$	$0.627 \pm 0.002$	$0.64 \pm 0.1$	$0.625 \pm 0.006$